

CV-151.- Pliegue anticlinal (F_{1-2}) en tobas y cineritas ácidas (V_1).



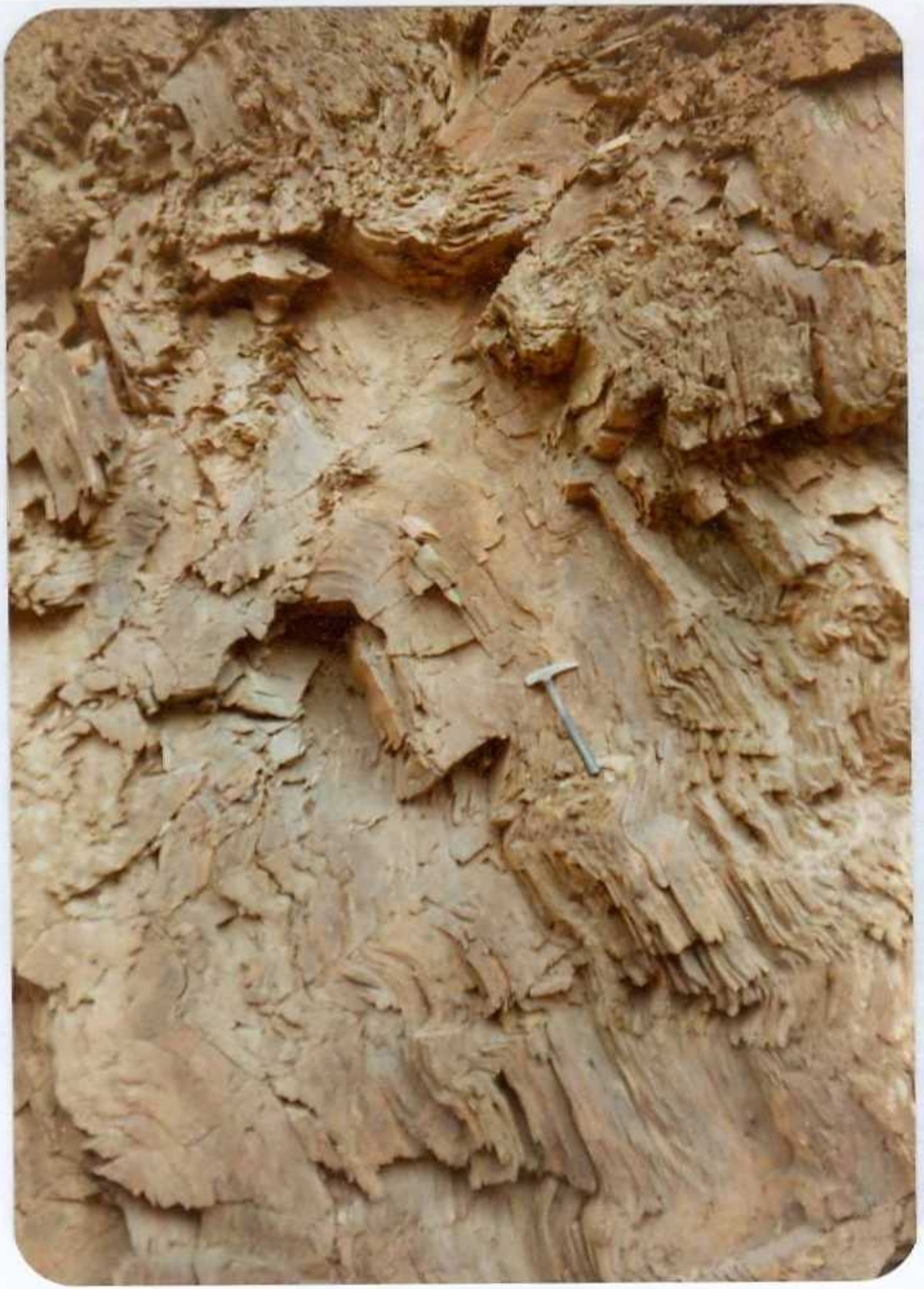
CV-152.- Pizarras moradas. Charnela anticlinal de S_o con eje N125E buzando 10E.



CV 153.- Pliegue anticlinal (F_2) en cuarcitas devónicas (Devónico superior-Carbonífero-inferior).



CV 154.- Detalle de la foto anterior.



CV 155.- Pizarras devónicas (Devónico superior- Carbonífero inferior) Pliegues tipo kink y - chevron.



CV 156.- Niveles de pizarras moradas con tobas finas y cineritas (V_2). A la derecha, pliegues de arrastre (flanco normal) en niveles más silíceos.



CV 157.- Mina San José (manganeso). Lentejones de jaspes manganesíferos (Jm) entre tobas ácidas (V_2) y pizarras moradas (Pm).



CV 158.- Paisaje de volcanitas básicas.



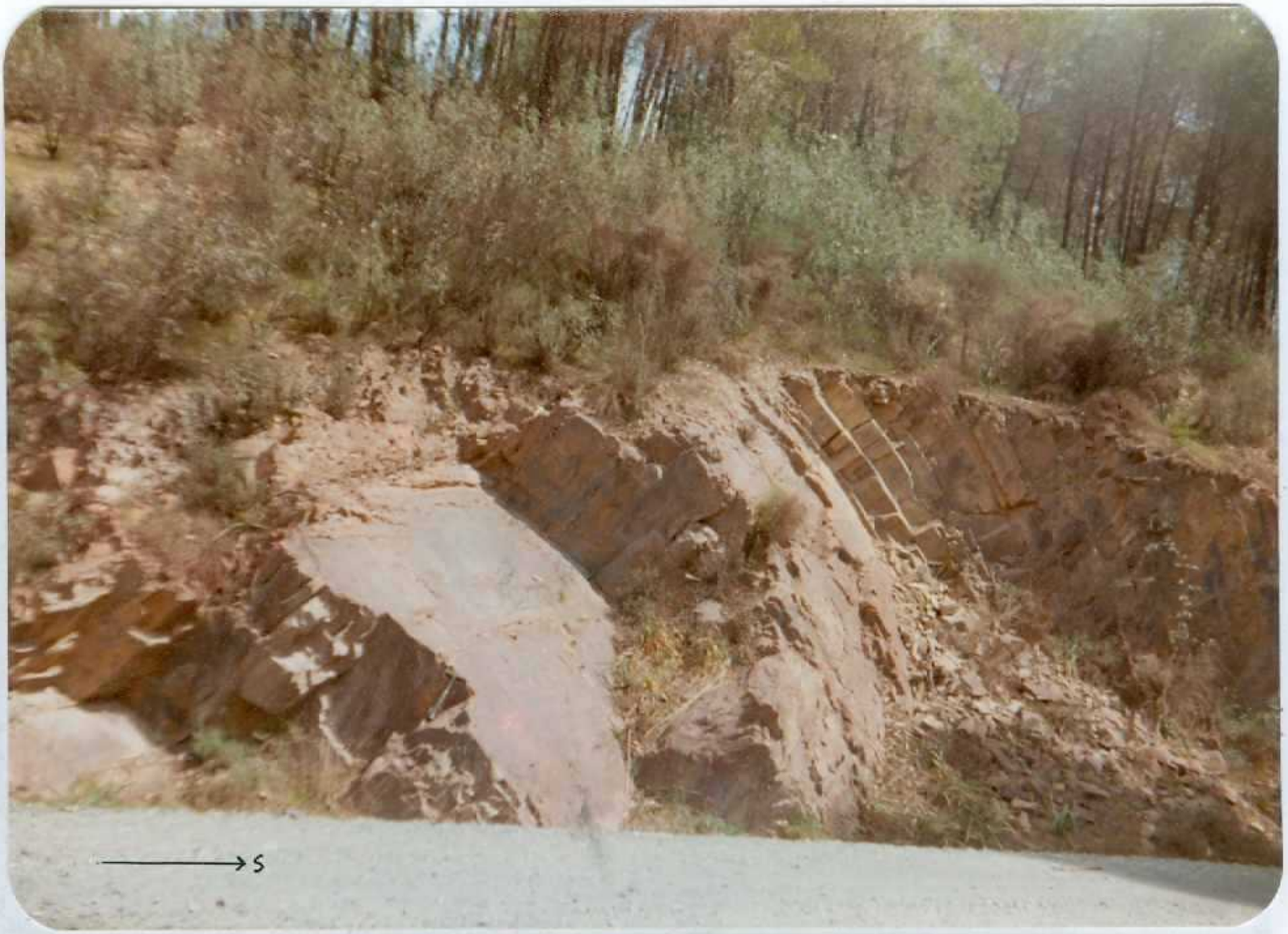
CV 159.- Volcanitas básicas (lavas), con disyunción en bolos.



CV 160.- Aglomerado ácido (V_2)



CV 161.- Al fondo, crestones de jaspe (El Morante)



CV 162.- Tobas y tufitas ácidas (V_3). Obsérvese (a la derecha) la estratificación y la - esquistosidad en relación de flanco inver tido.



CV 163.- Grauvacas y pizarras (Carbonífero inferior, Facies Culm), Pliegue anticlinal de F_1 plegado en sinclinal de F_2.



CV 164.- Aglomerado ácido (V_1).



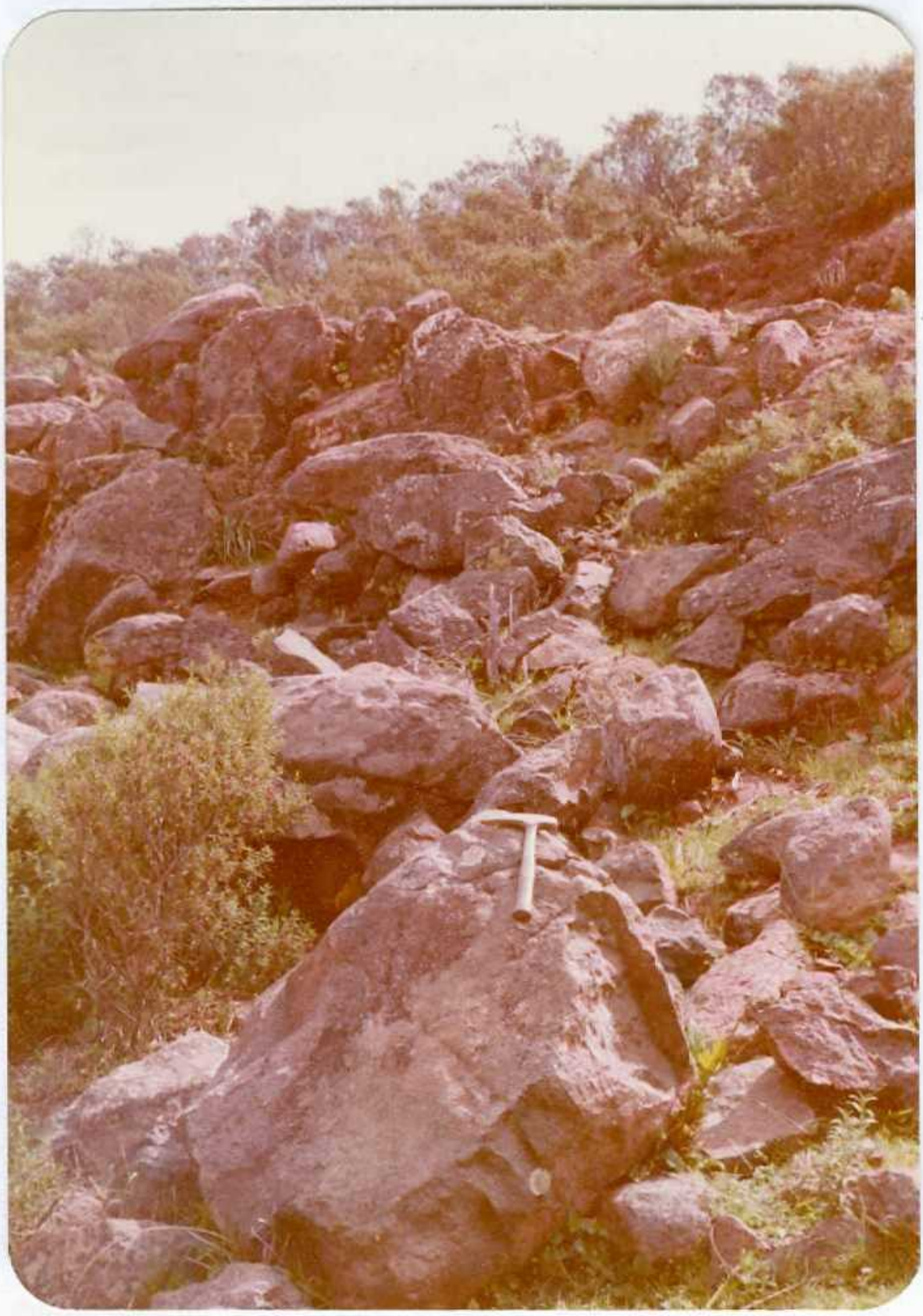
CV 165.- Pizarras con niveles cuarcíticos (Devónico superior-Carbonífero inferior). Interferencias de pliegues F_2-F_3.



CV 166.- Pizarras verdes (cineritas), con lentejones locales de tobas y tufitas ácidas(Devónico-superior-Carbonífero inferior). Están a techo de la mineralización de Sotiel, con pirita en fracturillas.



SB - 801.- Bancos de cuarcitas entre pizarras



SB - 802.- Basicas intrusivas. Alteración en bolos



SB - 803.- Volcanismo acido inicial: Aglomerado



SB - 804.- Calizas del Devónico Superior



SB - 805.- Basicas intrusivas: Suelo marrón-rojizo y bolos, productos de su alteración.



SB - 806.- Lentejones calcareos del Devonico Superior



SB - 807.- Zanja para explotar nodulos calcareos



SB - 809.- Pizarras moradas en posición normal: verde, estratificación; rojo, esquistosidad



SB - 810.- Bancos de pizarras moradas



SB - 811.- Tobas finas del volcanismo ácidosegundo
Anticlinal asimétrico



SB - 812.- Crestón de jaspes en "Los Guijos"



SB - 813.- Tobas del volcanismo ácido inicial



SB - 814.- Panoramica de Alosno, con vacies de Tharsis al fondo.



SB - 815.- Banco de grauvaca (Culm)



SB - 816.- Lechos arenoso-cuarciticos entre pizarras (C.V.S.).



SB - 817.- Panoramica de pizarras y cuarcitas devónicas



SB - 818.- Panoramica del volcanismo ácido segundo



SB - 819.- Brecha de flujo en volcanismo ácido segundo



SB - 820.- Tobas bréchicas abigarradas del volcanismo ácido segundo



SB - 821.- Panoramica de la explotación minera "Filón Norte" de Tharsis



SB - 823.- Toba gruesa poligénica del volcanismo ácido tercero



SB - 824.- Grauvacas y pizarras (Culm) en posición normal



SB - 825.- Pliegues anticlinales (F_{1-2}) en pizarras y grauvacas (Culm)



SB - 826.- Pizarras y banco de grauvaca (Culm)



SB - 827.- Pliegue en bancos pizarrosos (Culm)



SB - 828.- Pliegue anticlinal tumbado en pizarras (Culm)